

Optoelektronische Koppler MB 130 bis MB 135

Dipl.-Ing. KARL GOERNEMANN

Mitteilung aus dem VEB Werk für Fernsehelektronik Berlin

Die Bauelementetypen MB 130 bis MB 135 sind geschlossene optoelektronische Koppler in einem sechspoligen DIL-Plastgehäuse. Sie bestehen aus einer GaAs-Infrarot-Emitterdiode als Strahler und einem Si-Fototransistor als Empfänger. Die Koppler dienen zur galvanischen Trennung von Stromkreisen mit sehr hohen Potentialdifferenzen.

Bei den Kopplern MB 131 und MB 133 ist der Basisanschluß des Ausgangstransistors nicht herausgeführt.

Die Gehäuseabmessungen und die Anschlußbelegungen können den Bildern 1 und 2 sowie Tafel 1 entnommen werden. Die Bilder 3 und 4 zeigen die inneren Schaltungen der Optokoppler. Alle weiteren Tafeln und Bilder liefern Informationen zu technischen Kennwerten.

Erzeugnisstandard: TGL 42426

Masse: 0,5 g

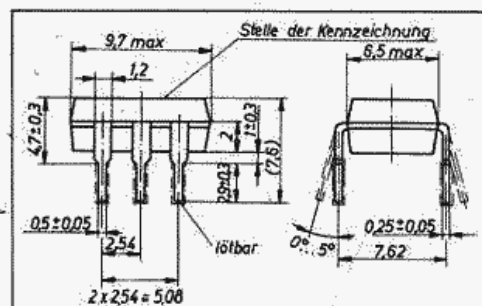


Bild 1: Gehäuseabmessungen der Optokoppler MB 130 bis MB 135

Tafel 1: Anschlußbelegungen

Anschluß	Belegung
1	IRED-Anode
2	IRED-Katode
3	nicht belegt
4	FT-Emitter
5	FT-Kollektor
6	FT-Basis oder nicht belegt

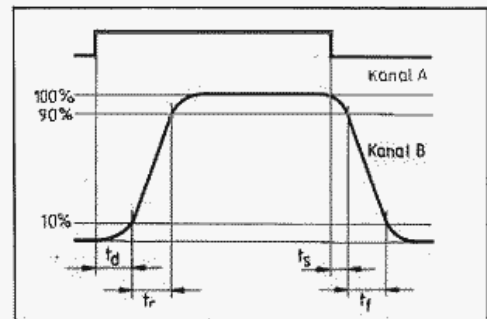


Bild 7: Definition der Schaltzeiten

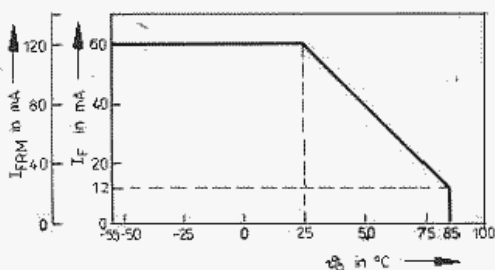


Bild 5: Abhängigkeit des maximal zulässigen Durchlaßgleichstroms bzw. periodischen Spitzen durchlaßstroms von der Umgebungstemperatur

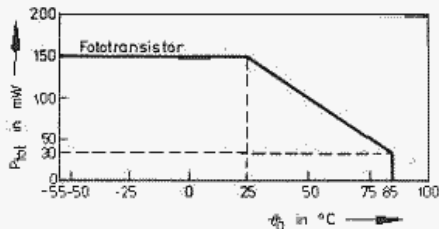


Bild 6: Abhängigkeit der maximal zulässigen Verlustleistung von der Umgebungstemperatur

Tafel 2: Kenngrößen ($\theta_A = 25^\circ\text{C}$)

Eingangskreis

Durchlaßgleichspannung U_{A} in V bei $I_E = 60 \text{ mA}$
Sperrgleichstrom I_{R} in μA bei $U_{\text{A}} = 6 \text{ V}$

≤ 1,65
≤ 10

Ausgangskreis

Kollektor-Emitter-Dunkelstrom I_{CEO} in nA bei $I_E = 0 \text{ mA}; I_B = 0 \text{ mA}; U_{\text{CE}} = 10 \text{ V}$
Kollektor-Basis-Dunkelstrom I_{CBO} in μA bei $I_E = 0 \text{ mA}; I_B = 0 \text{ mA}; U_{\text{CB}} = 70 \text{ V}$
Emitter-Kollektor-Dunkelstrom I_{ECO} in μA bei $I_E = 0 \text{ mA}; I_B = 0 \text{ mA}; U_{\text{EC}} = 6 \text{ V}$
Kollektor-Emitter-Hellstrom $I_{\text{CE(H)}}$ in mA bei $I_E = 10 \text{ mA}; U_{\text{CE}} = 0,4 \text{ V}; I_B = 0 \text{ mA}$
bei $I_E = 10 \text{ mA}; U_{\text{CE}} = 5 \text{ V}; I_B = 0 \text{ mA}$

≤ 50
≤ 100
≤ 10
≤ 2,5

Gruppe A
Gruppe B
Gruppe C
Gruppe D
Gruppe E¹⁾

4,0... 8,0
6,3...12,5
10,0...20,0
16,0...32,0
24,0...48,0

Isolationswiderstand R_{IO} in $\text{G}\Omega$ bei $U_{\text{IO}} = 0,5 \text{ kV}$
Isolationsstrom I_{IO} in nA bei $t = 2,5 \text{ s}$

≤ 100
≤ 100

$U_{\text{IO}} = 2,8 \text{ kV} (\text{MB 130})$

$U_{\text{IO}} = 4,4 \text{ kV} (\text{MB 131, MB 132})$

$U_{\text{IO}} = 5,3 \text{ kV} (\text{MB 133 bis MB 135})$

Schaltzeiten²⁾ ($I_{\text{FRM}} = 10 \text{ mA}; U_{\text{CE}} = 5 \text{ V}; R_L = 75 \Omega; I_B = 0 \text{ mA}$)

≤ 5; typ. 0,8

Verzögerungszeit t_d in μs

≤ 10; typ. 2

Impulsanstiegszeit t_r in μs

≤ 1,5

Speicherzeit t_s in μs

≤ 4,0

Gruppen A bis D

≤ 10; typ. 2

Gruppe E

Impulsabfallzeit t_f in μs

¹⁾ MB 135 ohne $I_{\text{CE(H)}}$ = Gruppe E

²⁾ s. Bilder 7 und 8

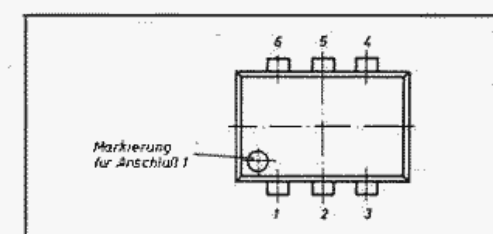


Bild 2: Anschlußbelegungen

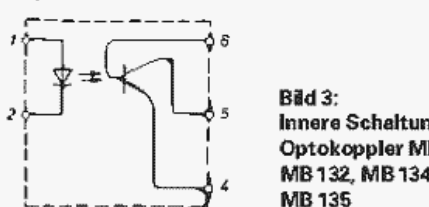


Bild 3:
Innere Schaltung der
Optokoppler MB 130,
MB 132, MB 134,
MB 135

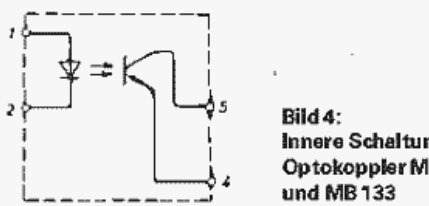


Bild 4:
Innere Schaltung der
Optokoppler MB 131
und MB 133

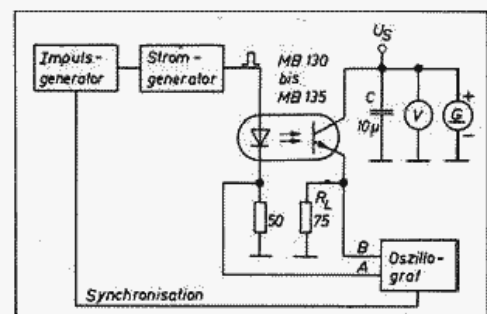


Bild 8: Meßschaltung zur Ermittlung der dynamischen Kenngrößen

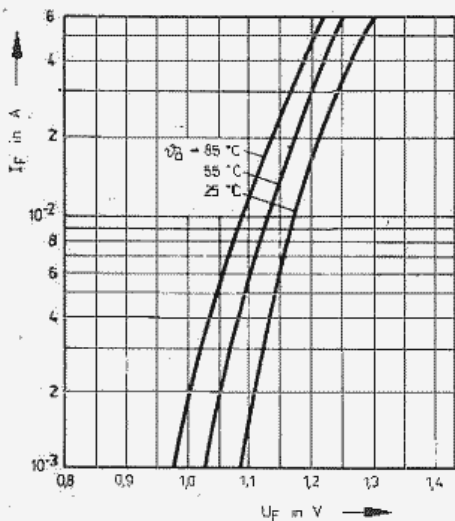


Bild 9: Mittlerer Durchlaßstrom der Eingangsdiode der Koppler MB 130 bis MB 135 in Abhängigkeit von der Durchlaßspannung

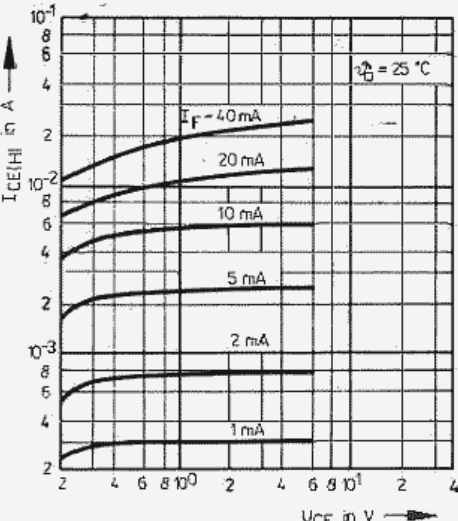


Bild 10: Mittlerer Kollektorstrom der Gruppe A in Abhängigkeit von der Kollektor-Emitter-Spannung

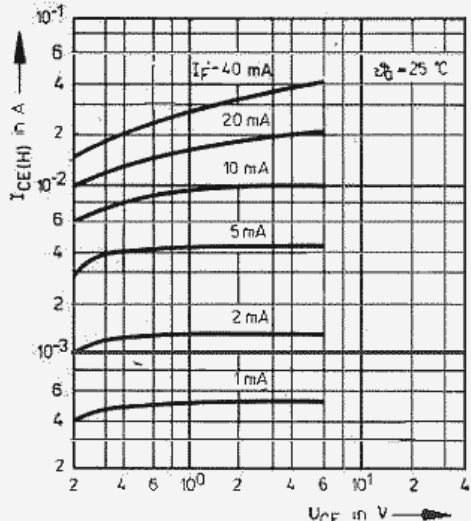


Bild 11: Mittlerer Kollektorstrom der Gruppe B in Abhängigkeit von der Kollektor-Emitter-Spannung

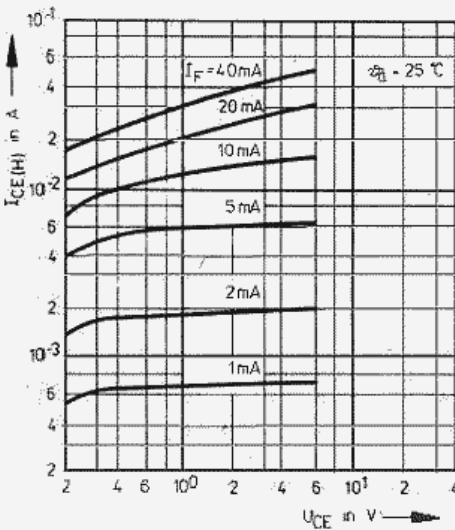


Bild 12: Mittlerer Kollektorstrom der Gruppe C in Abhängigkeit von der Kollektor-Emitter-Spannung

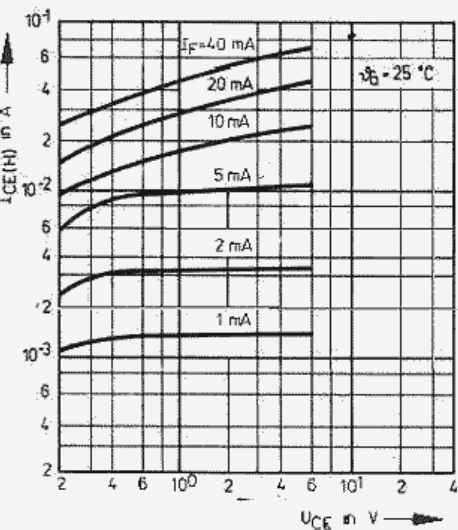


Bild 13: Mittlerer Kollektorstrom der Gruppe D in Abhängigkeit von der Kollektor-Emitter-Spannung

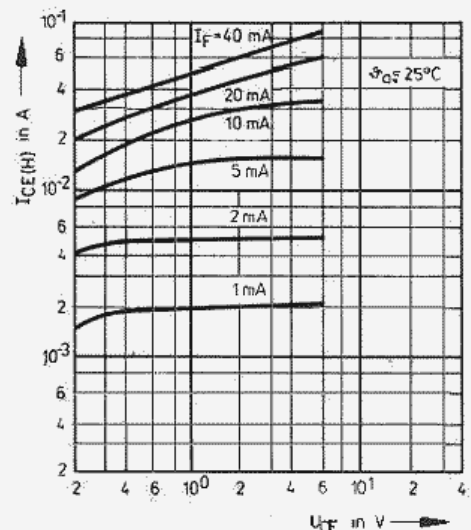


Bild 14: Mittlerer Kollektorstrom der Gruppe E in Abhängigkeit von der Kollektor-Emitter-Spannung

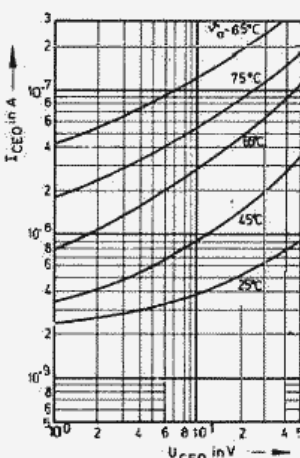


Bild 15: Mittlerer Kollektorstrom bei $I_F = 0$ des Kopplers MB 130 in Abhängigkeit von der Kollektor-Emitter-Spannung

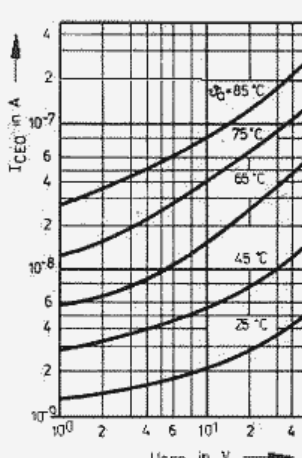


Bild 16: Mittlerer Kollektorstrom bei $I_F = I_B = 0$ der Koppler MB 131 bis MB 134 in Abhängigkeit von der Kollektor-Emitter-Spannung

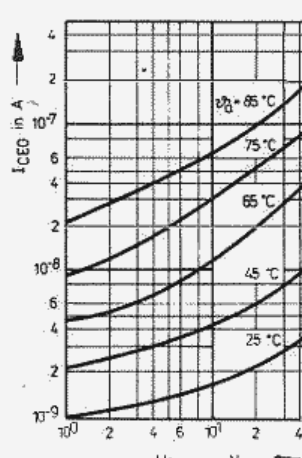


Bild 17: Mittlerer Kollektorstrom bei $I_F = 0$ des Kopplers MB 135 in Abhängigkeit von der Kollektor-Emitter-Spannung

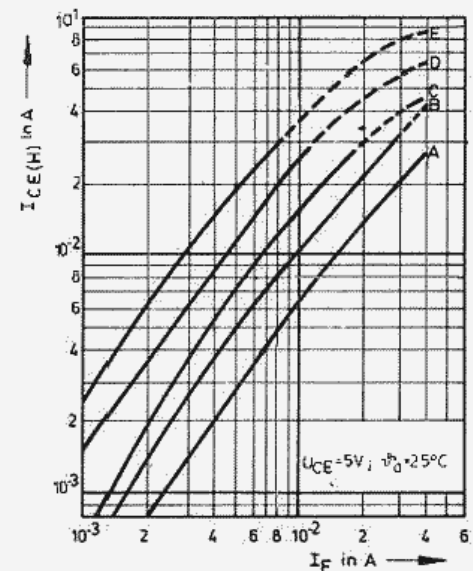
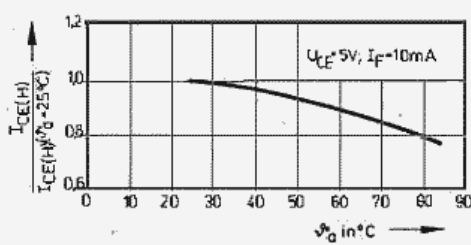


Bild 18: Mittlerer normierter Kollektorstrom der Koppler MB 130 bis MB 135 in Abhängigkeit von der Umgebungstemperatur

Bild 19: Mittlerer Kollektorstrom der Koppler MB 130 bis MB 135 in Abhängigkeit des Durchlaßstroms der Eingangsdiode

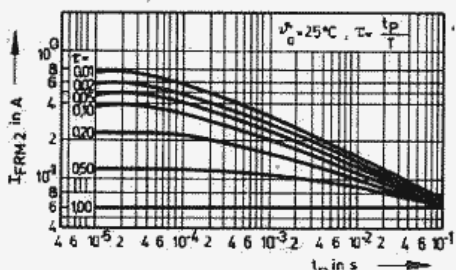


Bild 20: Impulsbelastungsdiagramm der Eingangsdiode der Koppler MB 130 bis MB 135

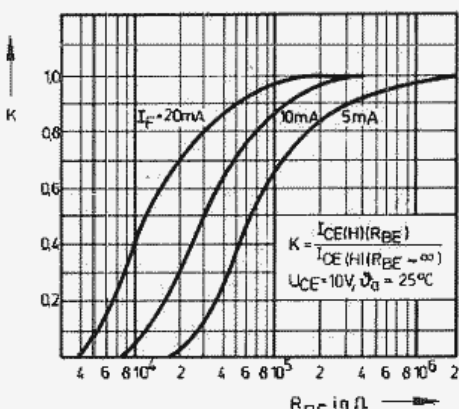


Bild 21: Normierter Kollektorstrom in Abhängigkeit des Basis-Emitter-Widerstandes bei den Kopplern MB 130, MB 132, MB 134 und MB 135

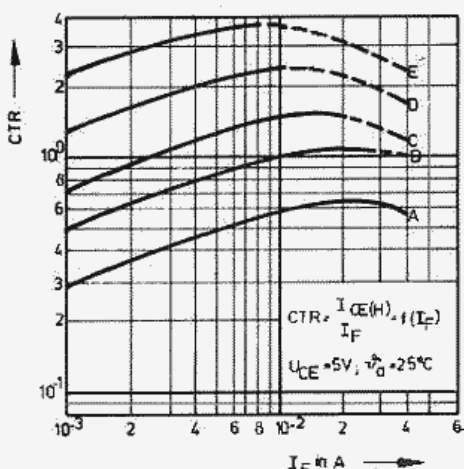


Bild 22: Mittlerer Stromübertragungsfaktor der Koppler MB 130 bis MB 135 in Abhängigkeit vom Durchlaßstrom der Eingangsdiode

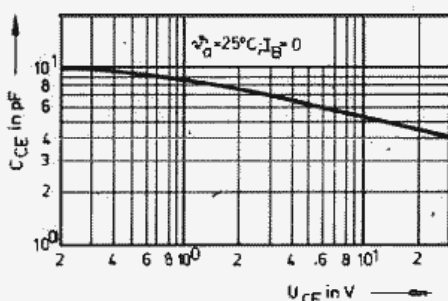


Bild 23: Mittlere Ausgangskapazität des Kopplers MB 130 in Abhängigkeit der Kollektor-Emitter-Spannung

Tafel 3: Grenzwerte

Eingangskreis

Durchlaßgleichstrom I_F in mA ¹⁾ bei $\theta_a = -55 \dots 25^\circ\text{C}$	≥ 60
periodischer Spitzendurchlaßstrom I_{FRM} in mA ²⁾ bei $\theta_a = -55 \dots 25^\circ\text{C}$	≥ 120
nichtperiodischer Spitzendurchlaßstrom I_{FSM} in A ³⁾ bei $\theta_a = -55 \dots 85^\circ\text{C}$	≥ 3
Sperrgleichspannung U_B in V bei $\theta_a = -55 \dots 85^\circ\text{C}$	≥ 6
periodische Sperrgleichspannung U_{BRM} in V bei $\theta_a = -55 \dots 85^\circ\text{C}$	≥ 6

Ausgangskreis

Kollektor-Emitter-Spannung U_{CEO} und Kollektor-Emitter-Spitzenspannung U_{CEM} in V bei $\theta_a = -55 \dots 85^\circ\text{C}$	≥ 35
MB 130	≥ 70
MB 131 bis MB 134	≥ 90
MB 135	
Emitter-Basis-Spannung U_{EBD} und Emitter-Basis-Spitzenspannung U_{EBM} in V bei $\theta_a = -55 \dots 85^\circ\text{C}$	≥ 6
Verlustleistung P_{tot} in mW ⁴⁾ bei $\theta_a = -55 \dots 25^\circ\text{C}$	≥ 150
Isolationsspannung U_{IO} und periodische Spitzenisolationsspannung U_{ICRM} in kV (Prüfspannungen) ⁵⁾	
MB 130	2,8
MB 131, Mb 132	4,4
MB 133 bis MB 135	5,3
Betriebstemperaturbereich θ_a in $^\circ\text{C}$	$-55 \dots 85$
Lagertemperaturbereich θ_{al} in $^\circ\text{C}$ über eine Zeit von 1 Monat	$-55 \dots 125$

1) I_{Fmax} bei $\theta_a > 25^\circ\text{C}$ s. Bild 5

2) I_{FRMmax} bei $\theta_a > 25^\circ\text{C}$ s. Bild 5, $t_p = 50 \mu\text{s}$, $t_p:T = 1:2$

3) $t_p = 1 \mu\text{s}$, 2 min Pause

4) P_{totmax} bei $\theta_a > 25^\circ\text{C}$ s. Bild 6

5) innerhalb 1 min; klimatische Bedingungen nach TGL 20618/02

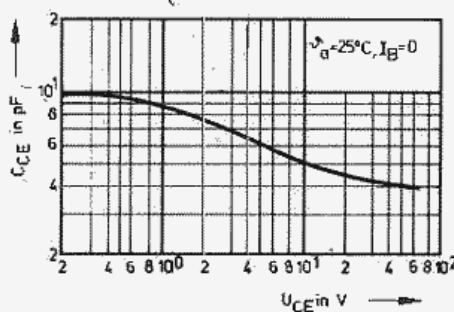


Bild 24: Mittlere Ausgangskapazität der Koppler MB 131 bis MB 134 in Abhängigkeit von der Kollektor-Emitter-Spannung

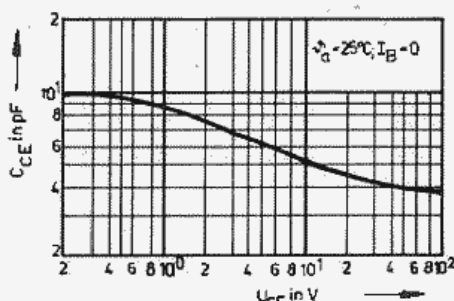


Bild 25: Mittlere Ausgangskapazität des Kopplers MB 135 in Abhängigkeit von der Kollektor-Emitter-Spannung

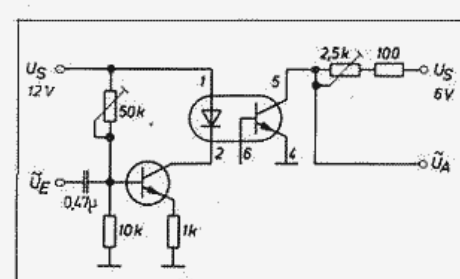


Bild 27: Meßschaltung zur Klin faktormessung

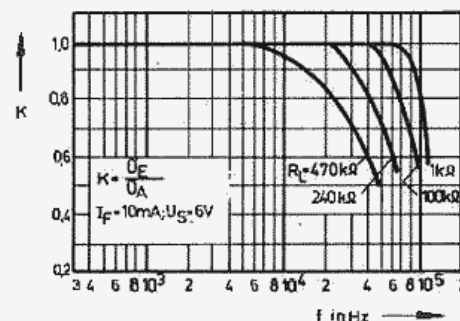


Bild 28: Spannungsübertragungsverhältnis der Koppler MB 130 bis MB 135 als Funktion der Frequenz

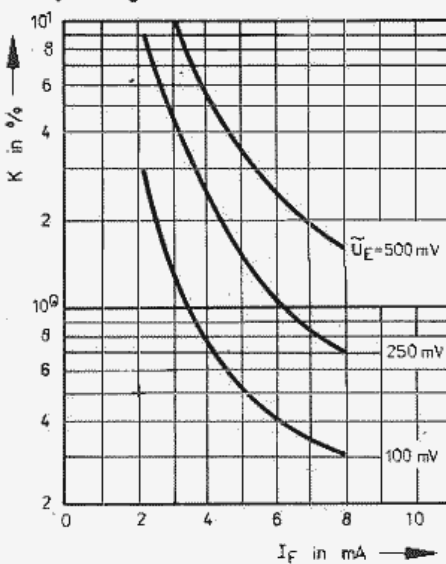


Bild 26: Klin faktor des NF-Ausgangsimpulses in Abhängigkeit des Eingangsgleichstroms der Koppler MB 130 bis MB 135